

Modelos Colectivos

Química Nuclear

Martín Pérez Comisso

intenta

Modelo de
Gota Líquida

Modelo
Vibracional

**Modelos
Colectivos**

Modelo de
Gas de Fermi

Modelo
Rotacional

**Interacción
N-N**

Repulsiva

Atractiva

Grado de
Libertad

Centro de
masas

Momento
cuadrapolar

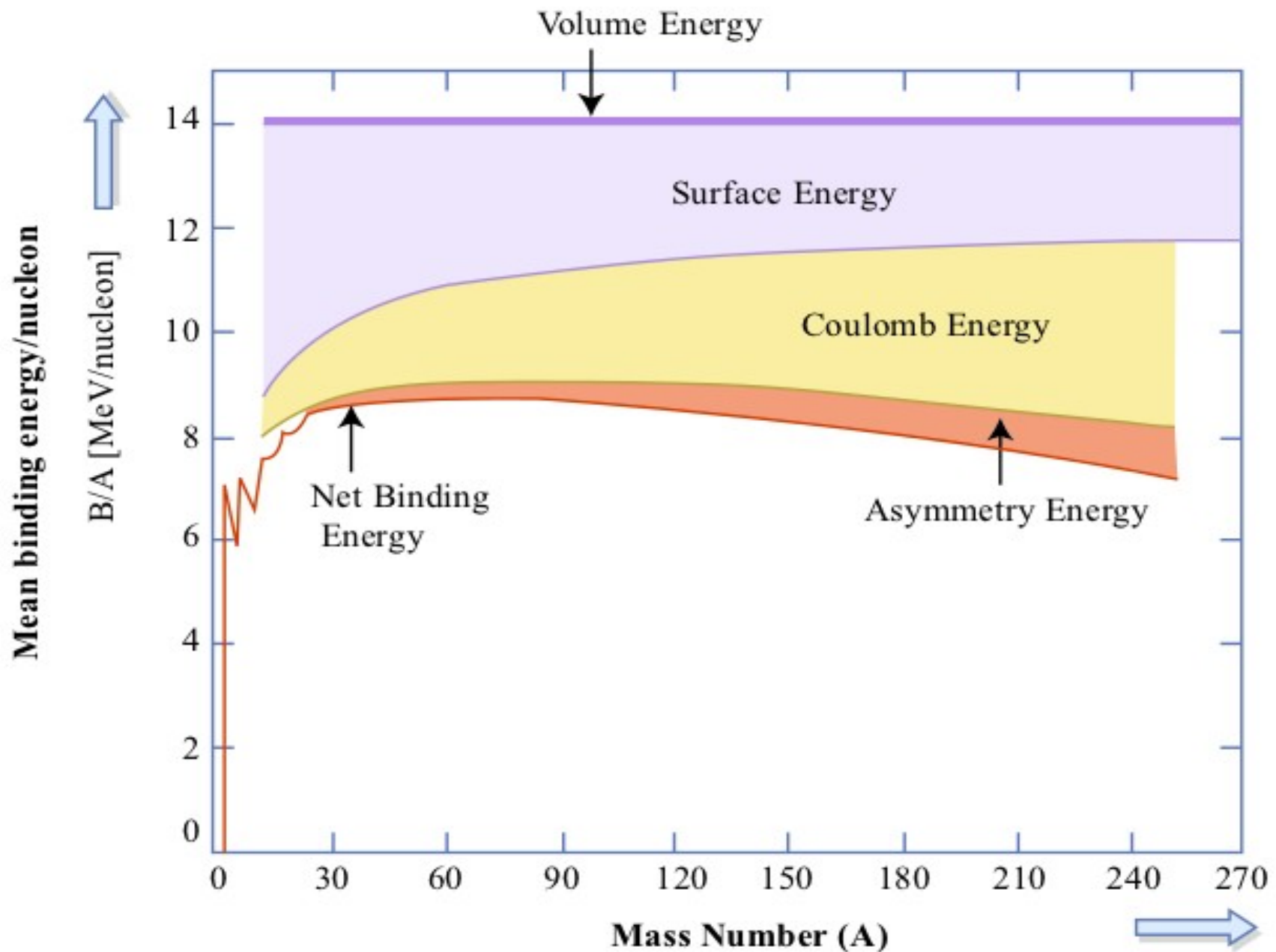
intenta

Modelo de Gota Líquida

- Bohr – Wheeler 1939
- Gota es incompresible $R=r_0A^{1/3}$
- Explica la **formula semi-empírica de masas**:

$$E_B = a_V A - a_S A^{2/3} - a_C \frac{Z(Z-1)}{A^{1/3}} - a_A \frac{(A-2Z)^2}{A} + \delta(A, Z)$$

intenta



$$Z_{\min} = A(2 + 0.015A^{2/3})$$

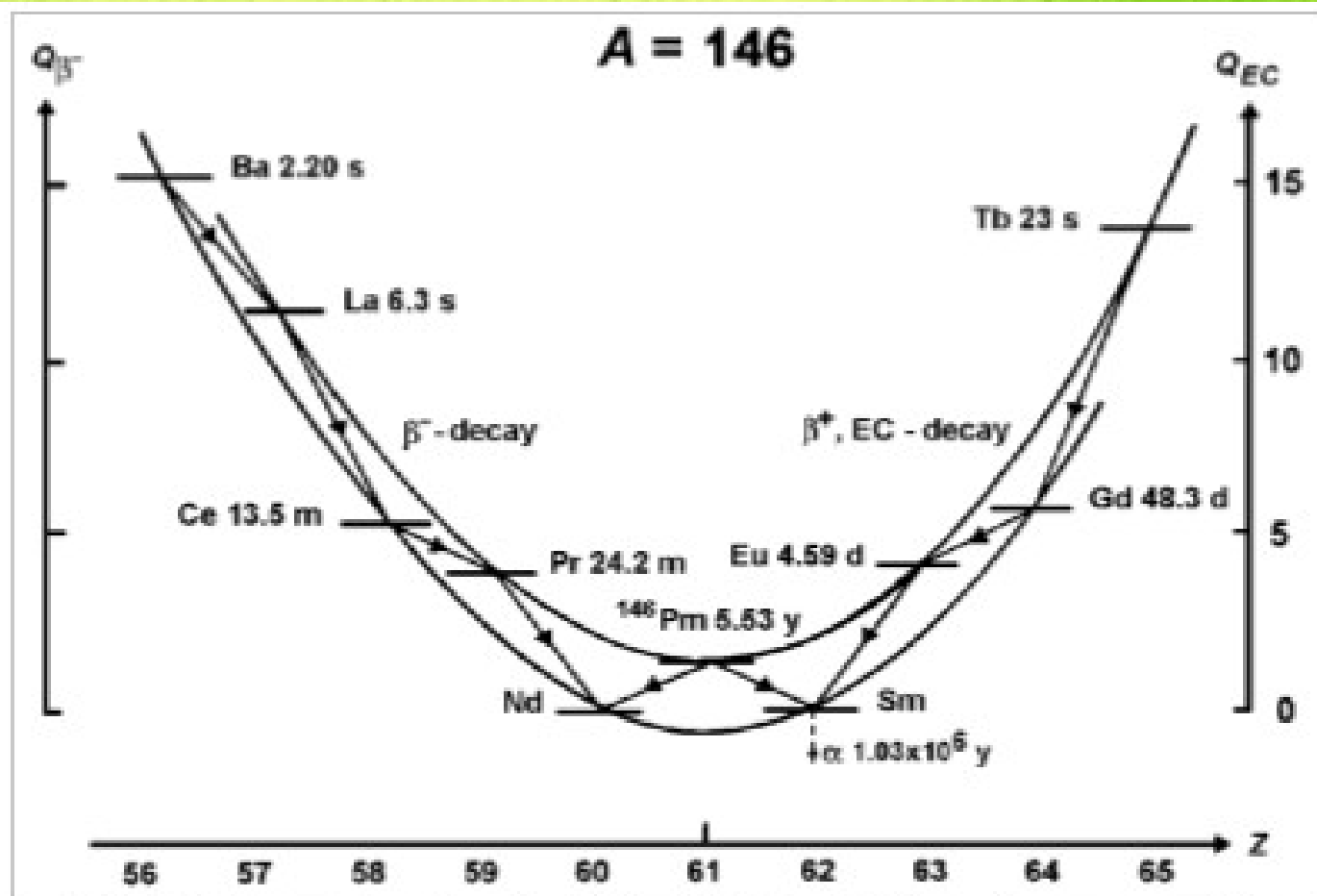
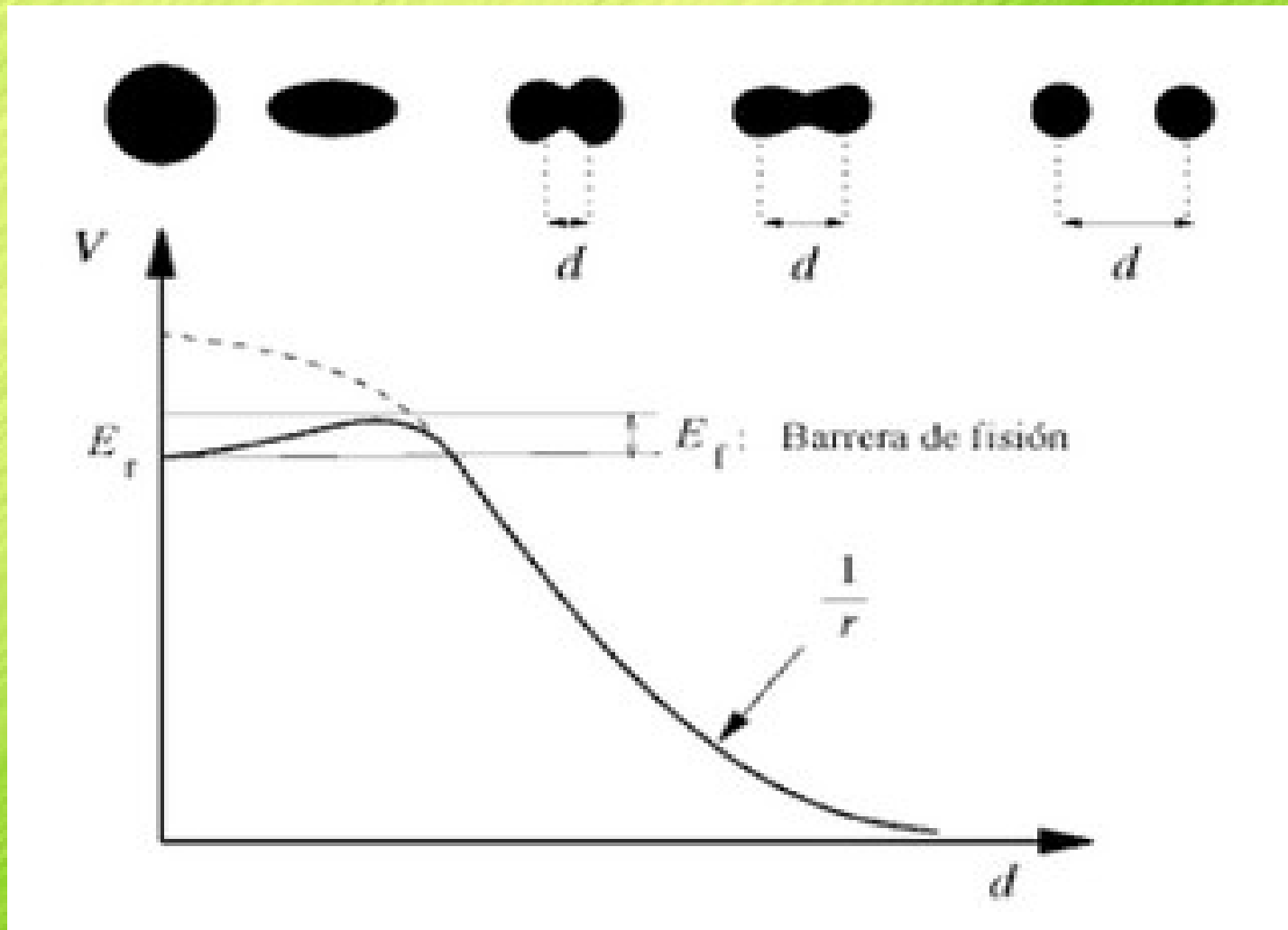


FIG. 3.7. Decay scheme for $A = 146$, with isobar half-lives. Decay energy Q in MeV. ^{146}Nd and ^{146}Sm are β -stable.

Existe una **barrera de potencial**



Esta limita la ocurrencia de una fisión espontánea

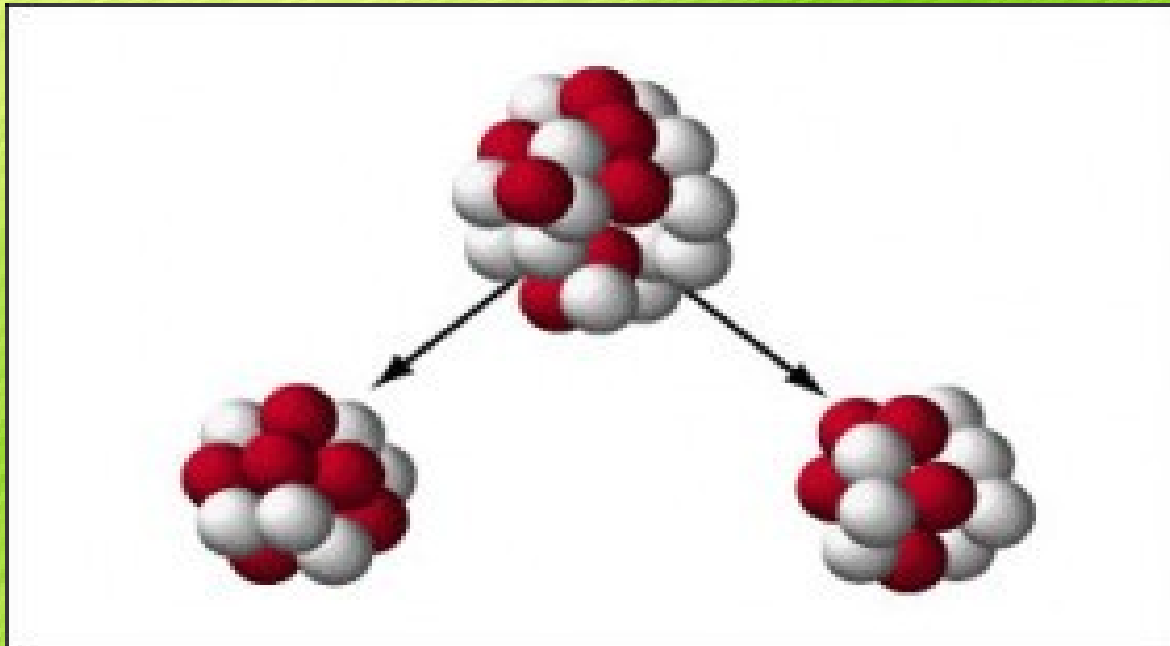
intenta

- La **espontaneidad** de una reacción de fisión

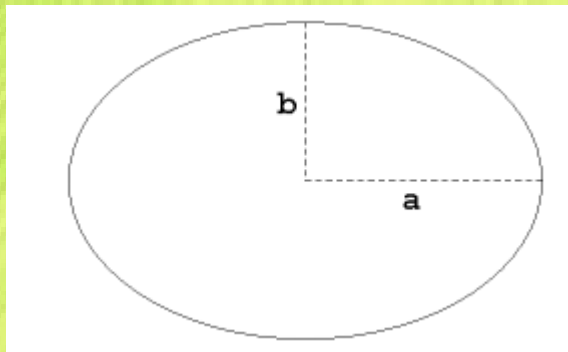
$$\Delta E > 0$$

$$1/5 \alpha_c Z^2 > 2/5 \alpha_s A$$

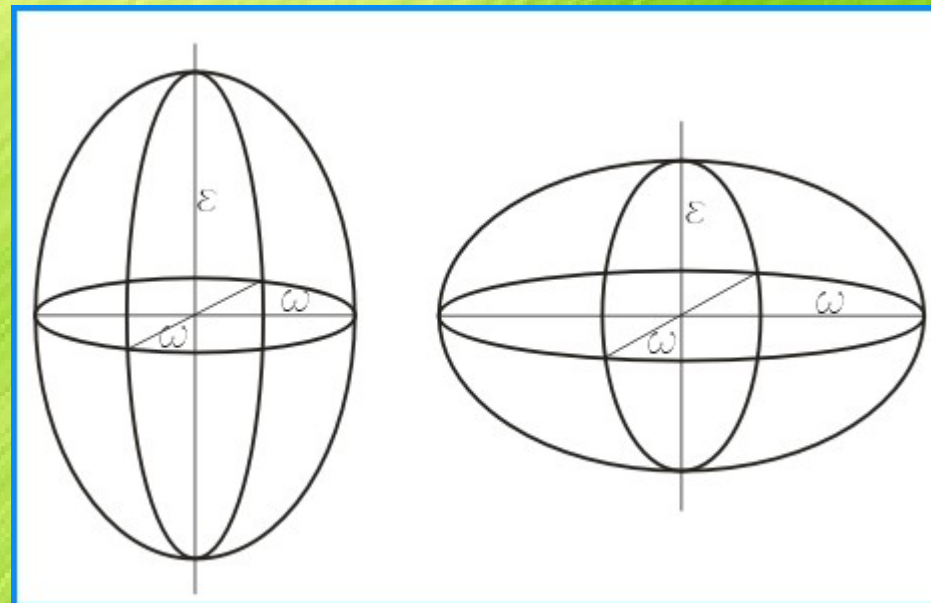
$$A > 300$$



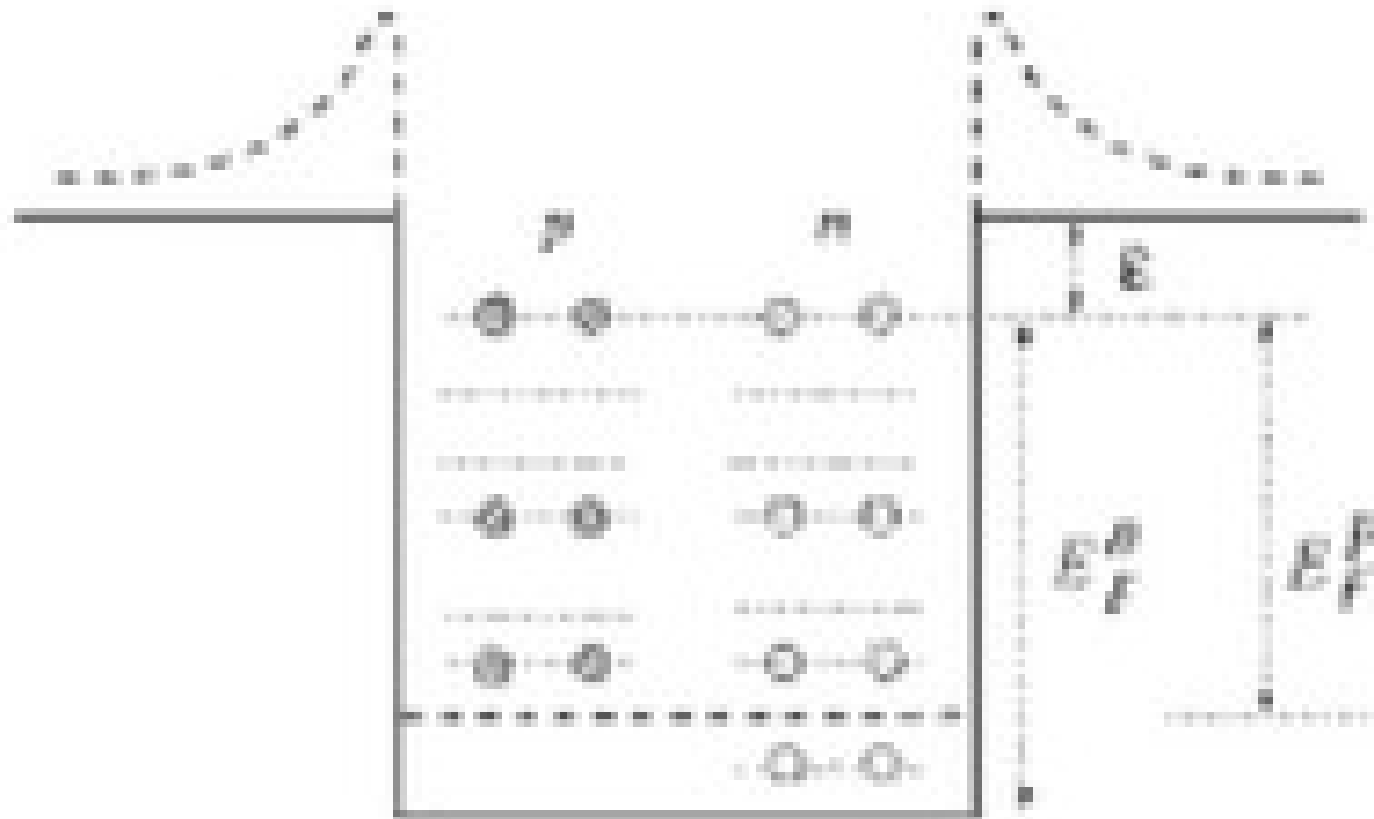
- Para entender la **deformación nuclear**, se utiliza ϵ parámetro de deformación



$$a = R (1 + \epsilon)$$
$$b = R / \sqrt{1 + \epsilon}$$



Modelo de Gas de Fermi



intenta

- Momento de Fermi

$$N = \frac{V}{3\pi^2\hbar^3} (p_{f,n})^3 \qquad Z = \frac{V}{3\pi^2\hbar^3} (p_{f,p})^3$$

$$(p_{f,n}) = (p_{f,p}) = p_f = \frac{\hbar}{V_o} \left(\frac{9\pi}{8} \right)^{\frac{1}{3}} \approx 250 \text{ MeV}$$

$$E_F = \frac{p_f^2}{2M} \approx 33 \text{ MeV}$$

$$\mathcal{E} \approx 8 \text{ MeV}$$

$$V_o = E_F + \mathcal{E} \sim 40 \text{ MeV}$$

intenta

- La diferencia de energía del Modelo de Fermi

$$\bar{E} = \frac{3}{5} \frac{NE_{F,n} + ZE_{F,p}}{A}$$

$$E_{tot} = \frac{3}{5} (E_{tot}^Z + E_{tot}^N) = \frac{3}{5} (ZE_{F,p} + (A-Z)E_{F,p})$$

- Considerando el **exceso** de energía

$$\Delta E = E_{tot}^Z + E_{tot}^N - 2E_{tot}^{A/2}$$

- Se define:

$$\eta = \frac{(A/2 - Z)}{(A/2)}$$

- El que cumple:

$$N = (A/2)(1 + \eta)$$
$$Z = (A/2)(1 - \eta)$$

- Que al resumir en términos cuadráticos, determina la **energía de la barrera de potencial** (para MdF)

$$\Delta E \simeq \frac{1}{3} E_F \frac{(Z - N)^2}{A}$$

- El **Modelo de Fermi** no explica:
 - Estructura de nivel energético
 - Espines y paridades de estado nuclear
 - La existencia de número mágicos
 - Momentos eléctricos y magnéticos

Propiedades Colectivas

Núcleo Par-Par

- Energía de Apareamiento

$$P_N \sim P_p \sim \frac{11,2}{\sqrt{A}} \text{ MeV}$$

3 MeV

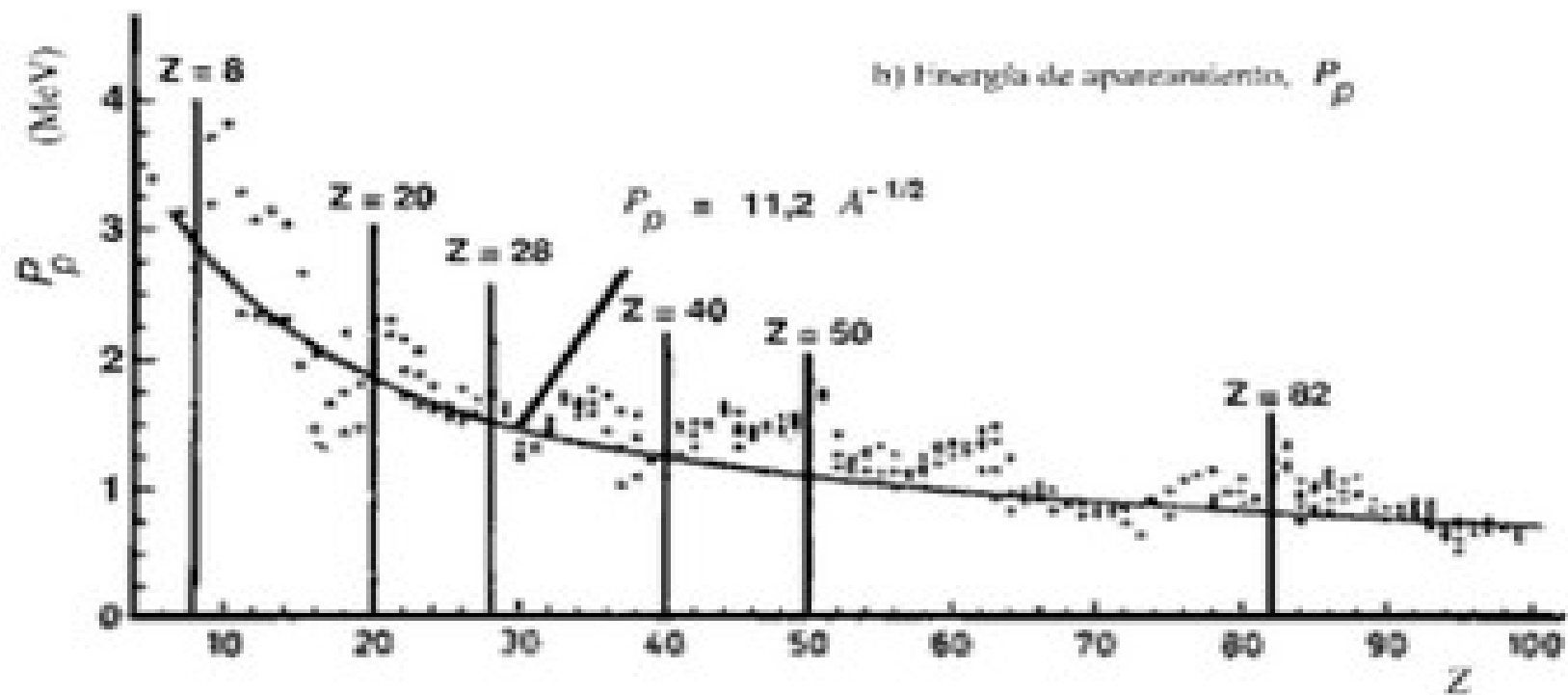
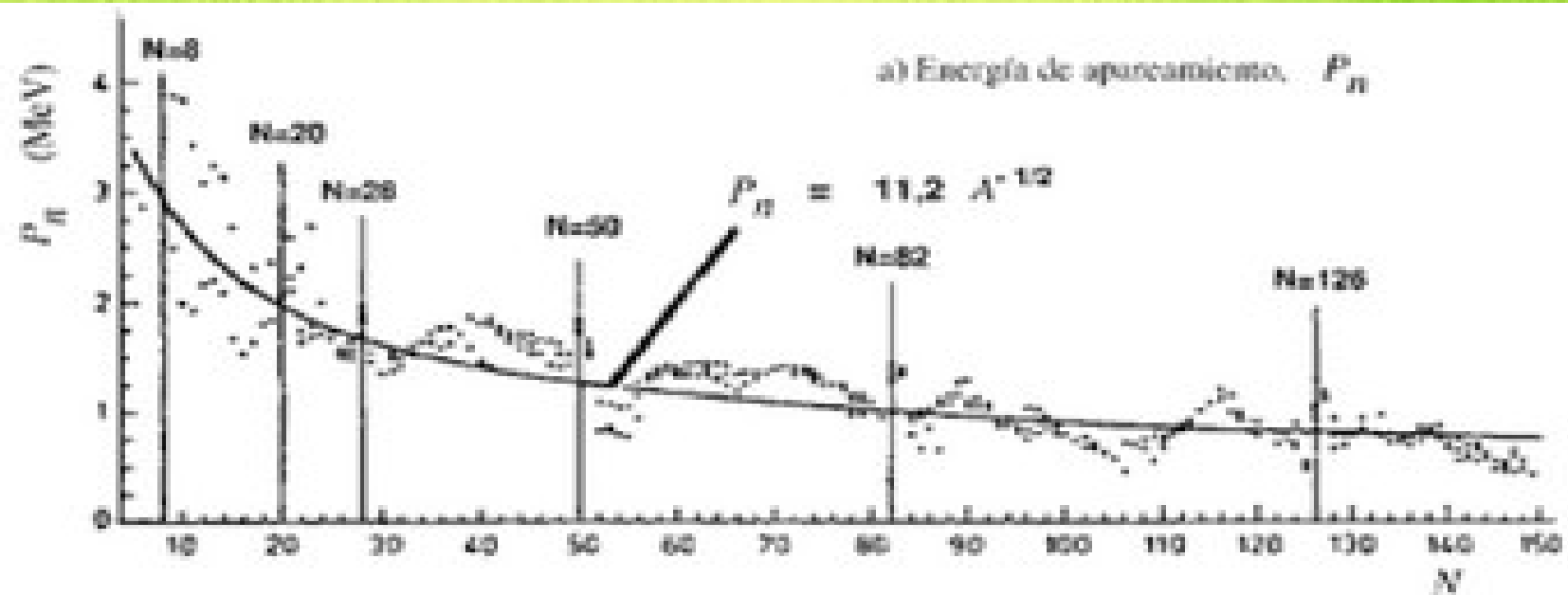
0,75 MeV



$$P_N = S_N(N, Z) - S_N(N-1, Z)$$

$$P_p = S_p(Z, N) - S_p(Z-1, N)$$

intenta



Observación Experimental

Núcleos Par-Par

- Nivel Excitado $J_p = 2+$
- Energía de $2+$ desciende con A
- Otro nivel $4+$, tal que:

$$\frac{E(4+)}{E(2+)} = \begin{cases} 2,0 & A < 150 \\ 3,3 & A = 150-190 \\ \wedge & A > 220 \end{cases}$$

- $\mu(2+)$ va entre 0,7 a $1 \mu_n$
- Q pequeño para $A < 150$ y Q grande para $A = 150-190$ y $A > 220$

- Estos resultados conducen a la búsqueda de nuevos modelos:

Vibracional: Núcleo esférico

Rotacional: Núcleo Deformado

Modelo Vibracional

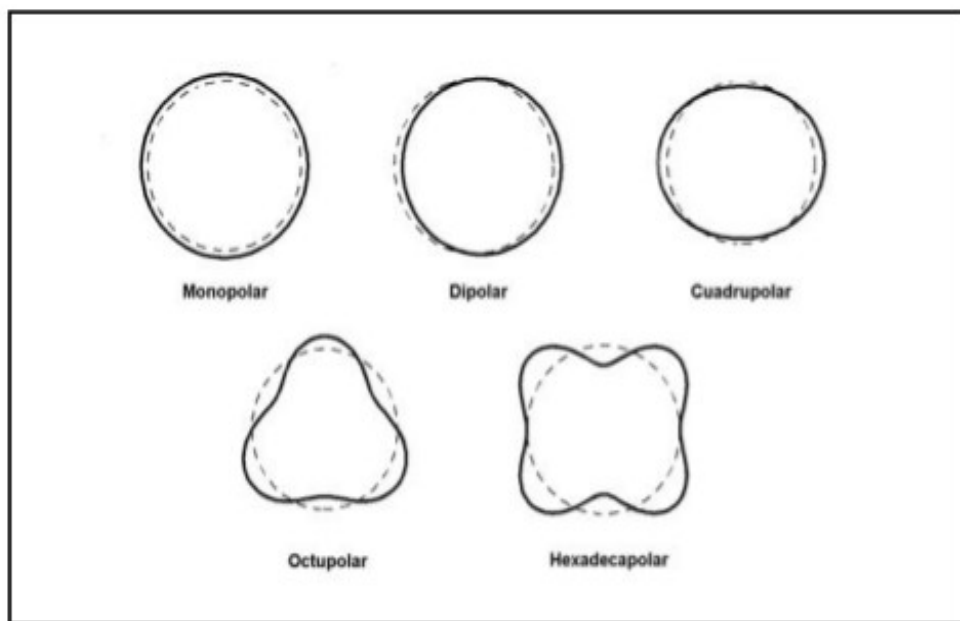
- Núcleo Esférico
 - Radio (R_0)
- No deformación

$$R(t) = R_m + \sum_{\lambda \geq 1} \sum_{\mu = -\lambda}^{+\lambda} \alpha_{\lambda\mu}(t) Y_{\lambda\mu}(\theta, \phi)$$

- Cada **modo vibracional** viene dado por λ y descrito por $2\lambda+1$

<i>Momento angular</i>	$J = \lambda \hbar$
<i>Paridad</i>	$P = (-1)^\lambda$

λ	2^λ	Caracterización estado vibracional
0	Monopolo	Cambia $r(t)$, Y_{00} es constante. Se denomina Modo Respiratorio
1	Dipolo	Cambio en la forma. Isoescalar e Isovectorial
2	Cuadrapolo	Fundamental para Oscilaciones No-Esféricas. $J_p=2+$
3	Octapolo	$J_p=3-$ que explica deformaciones más complejas de los núcleos



Isoescalar

- Escalar isoespín $T=0$
- Desplazamiento del centro de masas
- Estructura del núcleo no cambia
- Insensible a fuerzas nucleares

Isovectorial

- $T = 1$
- Desplaza a neutrones y protones de oposición (barrera de potencial)
- Energía máxima del nivel $E1$ de resonancia varía en $F(A) = 78 \cdot A^{-1/3}$ (MeV)
- Tiene anchura de ~ 6 MeV independiente de A

- Energía y **Parámetro de Forma**

$$H = T + V$$

$$H_{\lambda} = \frac{1}{2} D_{\lambda} \sum_{\mu} \left| \frac{d\alpha_{\lambda\mu}}{dt} \right|^2 + \frac{1}{2} C_{\lambda} \sum_{\mu} \left| \frac{d\alpha_{\lambda\mu}}{dt} \right|^2$$

$$D_{\lambda} = \frac{\rho R_o^5}{\lambda}$$

$$C_{\lambda} = \frac{1}{4\pi} (\lambda-1)(\lambda+2) \alpha_s - \frac{5}{2\pi} \frac{\lambda-1}{2\lambda+1} \alpha_c \frac{Z(Z-1)}{A^{1/3}}$$

intenta

$$C_{\lambda} \frac{d^2 \alpha_{\lambda\mu}}{dt^2} + D_{\lambda} \alpha_{\lambda\mu} = 0$$

$$(x + w^2 x) = 0$$

$$w_{\lambda} = \sqrt{\frac{C_{\lambda}}{D_{\lambda}}}$$

Frecuencia del Oscilador esta determinada por la propiedad de forma del núcleo

intenta

Otras predicciones

Modelo Vibracional

- $$\mu(J) = J \frac{Z}{A} \frac{\mu_N}{\hbar}$$
- $Q \sim 0$ para núcleos
- $E(4+)/E(2+)=2,0$
- $\langle \Delta R^2 \rangle = R_0^2 \langle \beta^2 \rangle$
- $\langle \beta^2 \rangle$ es deformación cuadrática media

Rotacional

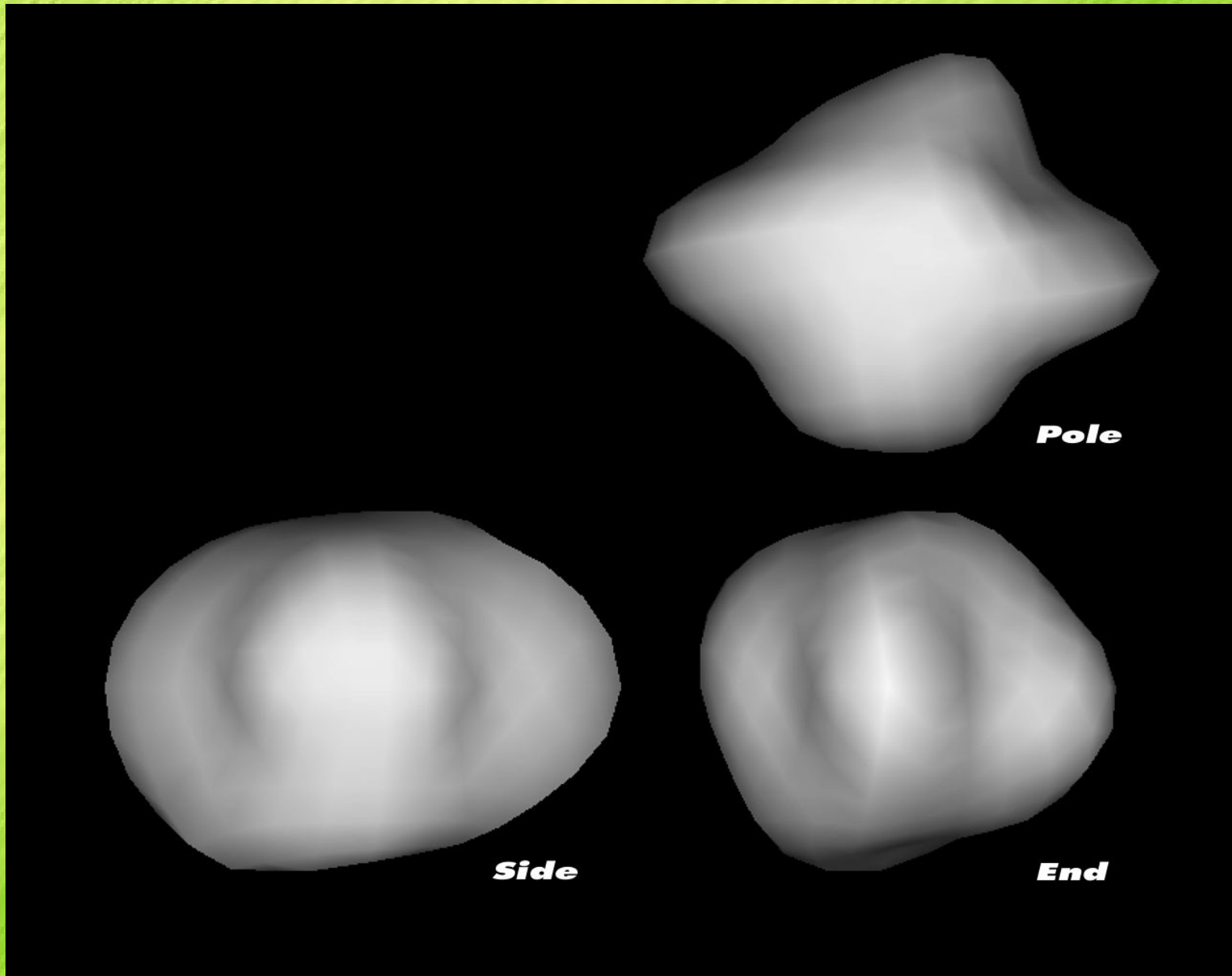
$$J^2|JMK\rangle = J(J+1)\hbar|JMK\rangle$$

Al resolver el Hamiltoniano rotacional, aparecen bandas rotacionales que aportan a la explicación de la deformación de los núcleos

$K^P=0+$ nivel $J=0,2,4,P+$

$K^P=0-$ nivel $J=1,3,5,P-$

$K^P>0$ nivel $J=K,K+1,K+2$



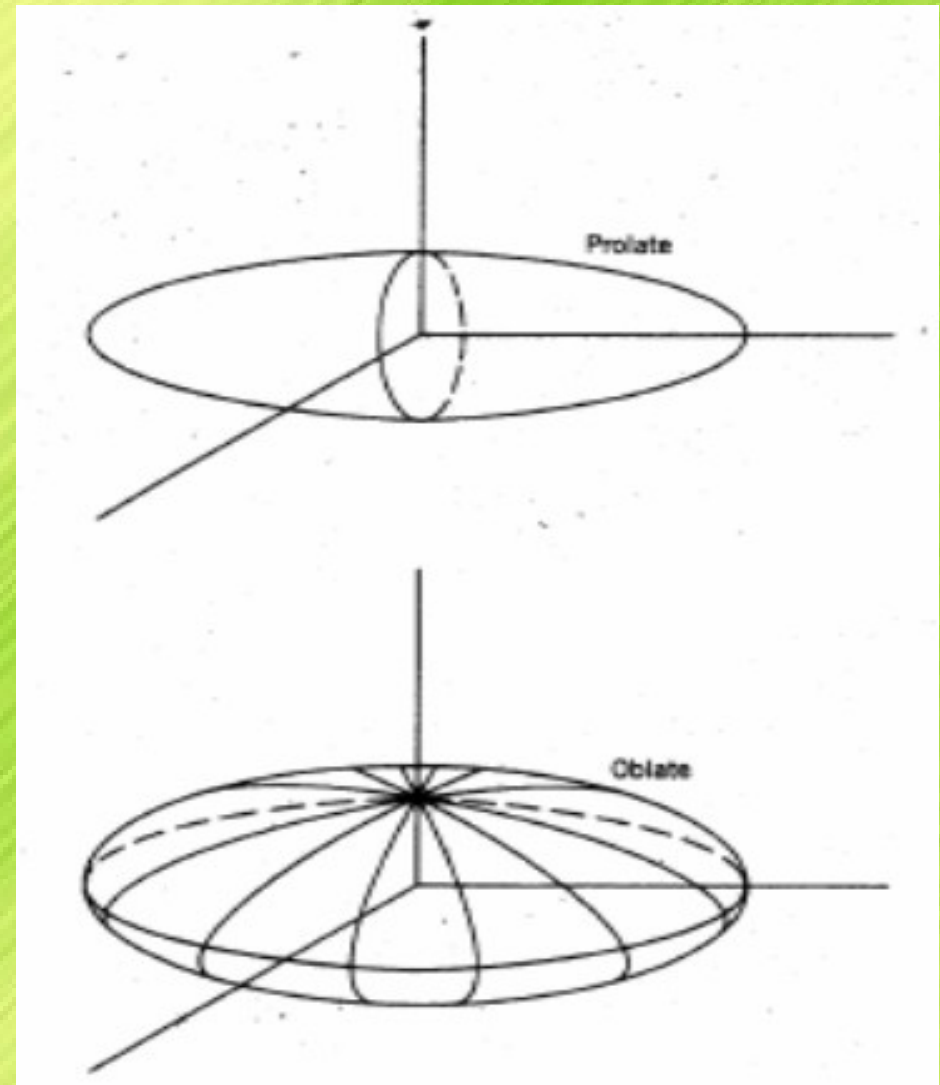
Núcleos muy deformados tienen $A > 150$

intenta

- Para modelar la deformación se considera la eliptización del núcleo, con el **parametro β**

$$\beta = \frac{4}{3} \sqrt{\frac{\pi}{5}} \frac{\Delta R}{R_m}$$

$$R(\theta) = R_m [1 + \beta Y_{20}(\theta)]$$



Intenta

Otras predicciones

Modelo Rotacional

- $E(4+)/E(2+)= 3,3$

- $$\mu(J)=J \frac{Z}{A} \frac{\mu_N}{\hbar}$$

- $$Q=\int (3z^2-r^2) \rho(r) d\vec{r}$$

- Momento de inercia del núcleo fluídizado (entre sólido y líquido)

$$\left. \begin{array}{l} I_{rig}=6KeV \\ I_{flu}=90KeV \end{array} \right\} I_{red}=15MeV \quad (?)$$

intenta

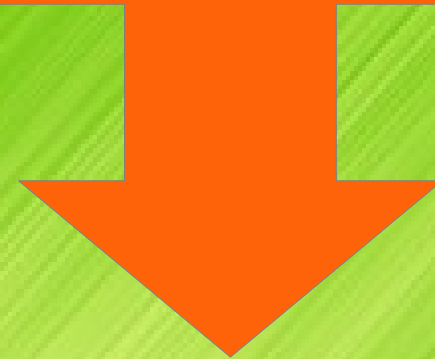
Modelos Colectivos

- Explican deformación
- Predicen fisión nuclear
- Explican núcleos par-par
- Energía Apareamiento y Formula SE de masas



Modelo Individual

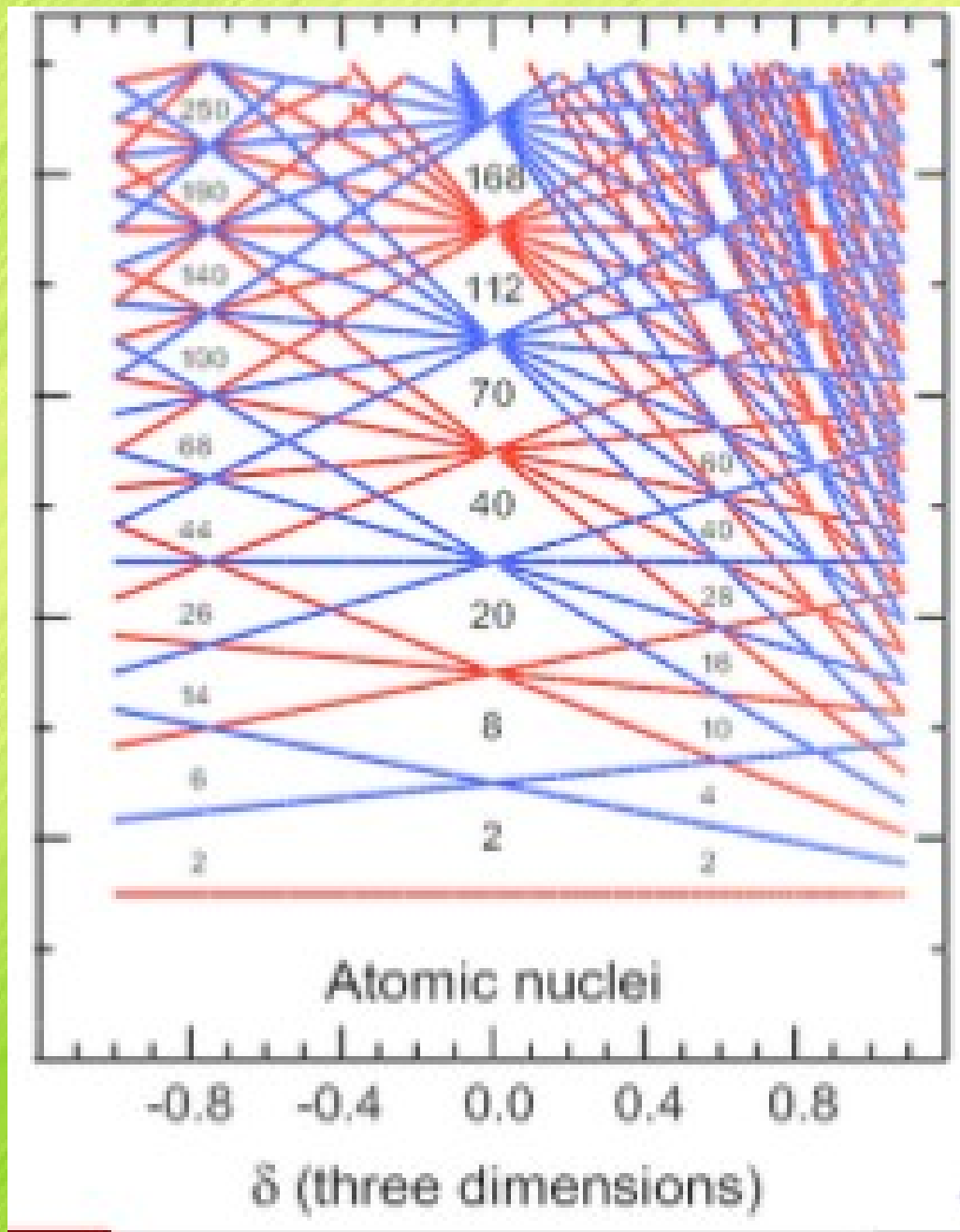
- Da cuenta de regularidad (N° mágicos)
- Spin y Paridad
- Núcleos Par-Impar
- Momento magnético
- Momento Cuadrupolar



MODELO UNIFICADO
(Modelo Nielsso, etc)

intenta

Todo para explicar la estructura nuclear



Modelo
Nielsson
intenta